

U-A8

$UO_2(NHSO_4)$ (Пр)

УIII 3095

$UO_2(NH_4)_2SO_4$ (Пр)

1956

UO_2KHSO_4 (Пр)

$UO_2NH_4HSO_4$ (Пр)

UO_2NaHSO_4 (Пр)

Чухланцев В.Г., Шарова А.К.

Ж. неорган. химии, 1956, I, № I, 36-41

Произведения растворимости арсенатов
уранила

РЖХим., 1957, 3747

Яц

UAs

Синтез

6 В25. Синтез моноарсенида урана (UAs). Bas-
kin Y. Synthesis of uranium monoarsenide (UAs). «J.
Inorg. and Nucl. Chem.», 1967, 29, № 9, 2480—2482
(англ.)

Показано, что при взаимодействии порошка U, полученного многократным гидрированием и дегидрированием металлическим U, с AsH_3 при 300° синтезирован продукт I с отношением $\text{As} : \text{U} = 1,20$, в к-ром рентгенографически обнаруживаются 2 фазы: UAs_2 и UH_3 . Ход р-ции может быть выражен ур-нием: $1,0 \text{ U} + 1,2 \text{ AsH}_3 \rightarrow 0,6 \text{ UAs}_2 + 0,4 \text{ UH}_3 + 1,2 \text{ H}_2$. Нагревание I в вакууме при 1200 , 1300 и 1400° сопровождается гомогенизацией продукта и образованием UAs (II) с константой кристаллической решетки $5,779 \pm 0,001$ Å. Пирофорными свойствами II не обладает, но при хранении на воздухе в условиях комнатной темп-ры частично окисляется.

Р. Н. Щелоков

191

~~Pt~~ (Tm) UP, UAs, USb, US,
USe, UPe, PuP, PuSb,
PuSb, PuS, PuSe, PuSe 2 1967

~~T-P, As, Sb, S, Se, Te~~

VIII 131

Kruger O.L., Moser J.B.

J. Phys. Chem. Solids, 1967, 28(5), 2321-5

Lattice constants and melting

1968

UAs

19 Б857. Фазовая диаграмма уран-моноарсенид урана. Benz Robert, Tinkle M. C. Uranium-uranium monoarsenide phase diagram. «J. Electrochem. Soc.», 1968, 115, № 3, 322—324 (англ.)

Исследованы фазовые соотношения в системе U—UAs при т-рах до $\sim 2700^\circ$ на закаленных образцах с помощью термич., рентгеновского и микроскопич. методов анализа. Переход $\alpha \rightleftharpoons \beta$ в U насыщ. As протекает при 665° ; переход $\beta \rightarrow \gamma$ при 775° . Эвтектика $\gamma = U + UAs$ расположена вблизи стороны U и плавится при 1125° , дальнейший рост конц-ии As приводит к росту т-ры ликвидуса. Максим. т. пл. UAs (с небольшим избытком U) в атмосфере He (1 атм) равна 2705° ; р-римость U в UAs не превышает 0,15% при т-ре $< 2200^\circ$; р-римость U_3As_4 в UAs незначительна.

Л. В. Шведов

 T_m x · 1968 · 19

UP_2 , UAs_2 , USe_2 , UTe_2 , VIII 3997-1970

UP , UAs , USe , UTe , USS , UBi , US , US_{15} (SHR)

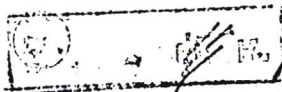
Baskin Y., Smith S.D.

J. Nucl. Mater., 1970, 37, N.R, 203-222 (ann.)

Enthalpy-of-formation data on compounds
of uranium with groups VA and VI B elements.

Pittcon, 1971

85646



J.
MOP

U_P-USe, UAs-U_S(T_N, T_c, T_D) 197
VIII 1945 ~~VIII 1945~~

Trzebiatowski W., Palewski T.

Bull. Acad. Pol. Sci., Ser. Sci.
Chim., 1971, 19, № 2, 83-9 (am)

Magnetic properties of weanum
phosphide - weanum selenide
and weanum arsenide - weanum
sulfide. solid solution

G-@ 8 CA 1971, 75, N6, 42370

UAs₂

USb₂

VII - 5300

1972

9067v Transverse electrical properties of the uniaxial anti-ferromagnets uranium arsenide and uranium antimonide. Henkie, Z.; Kletowski, Z. (Inst. Low Temp. Struct. Res., Pol. Acad. Sci., Wroclaw, Pol.). *Acta Phys. Pol. A* 1972, 42(4), 405-11 (Eng). Elec. resistivity measurements were carried out on single-crystal samples of antiferromagnetic UAs₂ and USb₂ at 4.2-300°K, in an elec. field perpendicular to the *c*-axis, as well as on powder samples at 77-500°K. These compds. exhibit a high anisotropy of the elec. resistivity. The temp. deriv. $d\rho/dT$ of the transverse resistivity has a sharp peak near the Neel temp., T_N (283°K for UAs₂ and 206°K for USb₂). Below 60°K, the spin-disorder resistivity of UAs₂ is governed by spin-wave scattering with a spin-wave activation energy of ~51°K, and at 70°K to T_N , it is proportional to T^2 . For USb₂, this resistivity is proportional to $T^{5/2}$.

(T_N)

C.A. 1973. 78. N2.

+1 USb₂ ☒

UAs_{1-x}

S_x

УД-556.9

1972

1 E1262. Магнитная фазовая диаграмма системы UAs_{1-x}S_x. Lander G. H., Mueller M. H., Reddy J. F. Magnetic phase diagram of the UAs_{1-x}S_x system. «Magn. and Magn. Mater. 17th AIP Ann. Conf., Chicago, Ill., 1971. Part 2». New York, 1972, 1371—1375 (англ.)

Нейtronографич. методом исследованамагн. фазовая диаграмма системы UAs_{1-x}S_x ($0 < x \leq 1$). Все соединения обладают кубич. гранецентрир. решёткой (типа NaCl). При $x=0$ (UAs) антиферромагн. упорядочение типа I ($T_N = 127^\circ\text{K}$) состоит из ферромагн. слоев, чередующихся в последовательности + — + —, при $T=0.5 T_N$ это упорядочение переходит в упорядочение

Фрн 73-1

типа IA с чередованием слоев + + — —. Это превращение сопровождается возрастанием магн. момента атома U с 1,9 до 2,2 μ_B . При возрастании x устойчивость структуры типа IA увеличивается, пока при $x=0,20$ указанная фаза не остается единственной во всей области T - p ниже T_N . В интервале конц-ий $0,25 < x < 0,34$ величина намагниченности синусоидально меняется от слоя к слою. Период модуляции меняется от $\sim 2,5$ элементарных ячеек при $x=0,25$ до $\sim 4,2$ элементарных ячеек при $x=0,34$. Периодичность не является ф-цией т-ры, а зависит только от конц-ий x . При $x > 0,34$ образцы оказываются ферромагнитными. Резюме

VIII-5816

1972

UAs

(94734g) Magnetic phase diagram of the uranium arsenide-uranium sulfide system. Lander, G. H.; Mueller, M. H.; Reddy, J. F. (Mater.-Sci. Div., Argonne Natl. Lab., Argonne, Ill.). *Phys Rev. B* 1972, 6(5), 1880-8 (Eng). The magnetic phase diagram of the $\text{UAs}_{1-x}\text{S}_x$ system ($0 \leq x \leq 1$) was investigated by neutron diffraction with powder samples. The solid solns. are fcc.

(T Neel)

stant

C.R. 1972. #1114

(NaCl crystal structure), and the anion atoms are distributed randomly over the anion sublattice. For $x = 0$ (UAs), the type-anti-ferromagnetic ordering (Néel temp., $T_N = 127^\circ\text{K}$), consisting of ferromagnetic sheets stacked $+-+-$, changes at $0.5T_N$ to the type-IA ordering, in which the sheets are stacked $++-$. This transition is accompanied by an abrupt increase in the magnetic moment from 1.9 to $2.2 \mu\text{B}$ per U atom. As x increases from zero, the stability of the type-IA structure increases until for $x = 0.20$ this phase is present at all temps. $< T_N$. For $x = 0.25-0.34$ the magnetic moments are not arranged in a simple commensurate structure, but their modulation from layer to layer follows a sinusoidal form. Near T_N , a single harmonic is present; the repeat distance in real space varies from ~ 2.8 unit cells at $x = 0.25$ to ~ 4.2 unit cells at $x = 0.34$. A 3rd harmonic, implying some squaring of the sine wave, appears at $\sim 0.5 T_N$. The periodicity is a function of concn. (x) only and does not vary with temp. for a given sample. Although at the ends of this intermediate range the stable phases at low temp. tend to be either type IA (low x) or ferromagnetic (high x), the longitudinal-wave structure is stable to at least 2.2°K over a narrow compn. range.

19 Б606. Магнитные свойства соединений UAsY ($Y=S$, Se, Te). Zygmunt A., Duszmal M. Magnetic properties of UAsY compounds ($Y=S$, Se, Te). «Phys. status solidi (a)», 1972, 9, № 2, 659—663 (англ.; рез. рус.)

1972

UAsS

Исследованы магнитные св-ва монокрист. и поликрист. образцов соединений типа UAsY ($Y=S$, Se, Te) в т-рном интервале 77—1000° К. Проведены рентгеноструктурные исследования. Установлено, что UAsS и UAsSe имеют

кист. структуру $P4/nmm$, а соединение UAsTe обладает структурой $I4/mmm$. UAsS и UAsSe ферромагнитны и имеют т-ру Кюри $T_K = 128^\circ$ и 118° К соотв. У соединения UAsTe T_K лежит ниже 77° К. Исследованные соединения характеризуются сильной анизотропией магнитных св-в. Полученные результаты свидетельствуют, что магнитная структура этих соединений представляет собой ферромагнитные слои, перпендикулярные оси с. При $T \gg T_K$ т-рные зависимости обратной восприимчивости всех исследованных соединений представляют собой прямые линии с отриц. константами Вейсса, эффективные магнитные моменты для UAsS, UAsSe и UAsTe равны соотв. 3,34, 3,42

$T_K = 128$

118

77

52

49

X. 1972.

19

и $3,34 \mu\text{в}$. При $T \gtrless T_{\text{К}}$ характер зависимости $\chi^{-10} = f(T)$ очень напоминает соотв-щие зависимости ферримагнитных з-в. Особенности магнитного поведения соединений UAsY могут быть объяснены в приближении теории крист. поля с учетом обменных взаимодействий. Точная колич. интерпретация магнитных св-в соединений UAsY невозможна без более точного определения их крист. структуры и без дополнительных магнитных и нейтронографич. измерений.

Л. Н. Романенко



U₃As₄

Bp - 41- XVIII

1973

75789z Electric resistivity of single crystal (U₃As₄) in the vicinity of the Curie temperature in an external magnetic field. Henkie, Z.; Klamut, J. (Inst. Low Temp. Struct. Res., Pol. Acad. Sci., Wroclaw, Pol.). *Phys. Status Solidi A* 1973, 20(1), K69-K72 (Eng). The elec. resistivity of single-crystal U₃As₄ was measured at 179-206°K, under external magnetic fields of different strength. The external magnetic field can affect the elec. cond. through its influence on the magnetic structure as well as on the magnetic fluctuations. The resistivity vs. temp. curves show a max. above the Curie temp. ($T_c = 198^\circ\text{K}$); which shifts, flattens, and eventually disappears with increasing field strength. Below T_c there occurs another max. with increasing magnetic field strength. This max. has not yet been noted in similar investigations; it increases and shifts to lower temps. when the field strength increases, and its origin is not yet clear.

Taurie

C-A 1974.80. N14

1973

U_3As_4

BP-41-X~~VII~~III

(Теория)

14 Б646. Электросопротивление монокристаллического U_3As_4 вблизи температуры Кюри во внешнем магнитном поле. Henkie Z., Klamut J. The electrical resistivity of monocristalline U_3As_4 in the vicinity of the

(см. на обработке)

2. 1974. N14.



Curie temperature in an external magnetic field. «Phys. status solidi (a)», 1973, 20, № 1, K69—K72 (англ.)

В интервале 179—206° К, включающем точку магнитного фазового превращения (T_c) монокрист. U_3As_4 (I) (198° К), исследовано сопротивление (ρ) I в направлениях [111] и [100] и влияние на величину ρ магнитного поля (H), параллельного электрич. полю. Измерения проведены 4 зондовым методом при ступенчатом измерении т-ры с шагом 0,1 град. Показано, что максимум на кривой $\rho(T)$, имеющий место в T_c , для [100] сдвигается в сторону низких т-р при повышении H . При измерениях ρ вдоль [111] обнаружен рост ρ с увеличением H (ρ в направлении [100] уменьшается при увеличении H). Указано на смещение пика $\rho(T)$ [111] в сторону низких т-р с ростом H . Предложена модель, объясняющая полученные результаты изменением магнитной структуры I и магнитными флуктуациями.

И. А. Клейман

U.S.; U.S.; N.P.C. (T_{Neel}) VIII 5875 1973

Robinson J.M., Erdos P,

Phys. Rev., 1973, B8, N9, 4333-47

(cont.)

Theory of magnetic properties
of actinide compounds.

6 ♂

CA, 1974, 80, N10, 53843k

UAS₂ summer 2856 1973

US₂

UBi₂

E. F. Westrum, et al.

Cp; T₀, aH₂,

Cryogenic heat capacity
and Deel temp. trans. of the
uranium pnictides.

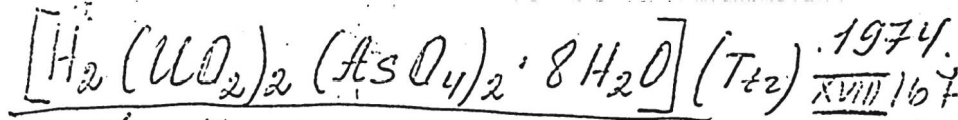
1974

UAS¹
- USE²
- Cp, 5-350 K,
 ΔH_t

(c)
(c)

Alles A, Bartel J, Carling R,
Downie D.

5TT, 1974, N17, 96



de Benyacar M.A.R., de Abeledo
M.E.J.

Amer. Mineral., 1974, 59 (7/8),
763-7.

Phase transition in synthetic
troegerite at room temperature.

3
C.A. 1974. 81n12. 69524P.

5 (cp)

U₃As₄

XVIII - 740

1974

(Taurie)

1959. Neutron diffraction study of uranium-arsenic (U_3As_4). Vlček, V.; Smetana, Z.; Menovsky, A. (Fac. Math. Phys., Charles Univ., Prague, Czech.). *Phys. Status Solidi A* 1974, 34, K13-K15 (Eng). The neutron diffraction patterns of cryst. U_3As_4 were detd. at 77 and 300°K. The peaks were shown to be caused by a magnetic contribution below the Curie point. The height of the (211) peak having the largest magnetic contribution was measured, and a spin arrangement model similar to that of U_3P_4 is suggested. The Curie point was detd. as $T_c = (100 \pm 5)^\circ\text{K}$.

C.A 1975 82 N10 67350a

XVIII-294 1974

Уотс

17 Б655. Теория магнитных свойств соединений актинидов. II. Robinson J. M., Erdös Paul. Theory of magnetic properties of actinide compounds. II. «Phys. Rev. B: Solid State», 1974, 9, № 5, 2187—2193 (англ.)

(ΔНтг)

На основании теор. модели, предложенной авторами ранее (РЖХим, 1974; 15Б855), для описания магнитных и термодинамич. св-в металлич. соединений актинидов, проведена интерпретация эксперим. данных, известных для UAs (I), $UAs_{1-x}P_x$, $UP_{1-x}S_x$ (II), и $UAs_{1-x}S_x$ (III). В частности, показано, что эта модель хорошо описывает наблюдаемые значения подрешеточной намагниченности и магнитной восприимчивости I. Теоретически предсказаны значения уд. теплоемкости электронов проводимости и теплоты фазовых переходов в I. Предложенная теория объясняет магнитно-фазовые диаграммы для двойных систем, а для тройных, напр. II и III, получено лишь качеств. согласие. Из эксперим. данных определена зависимость магнитных обменных взаимодействий от заселенности зоны проводимости.

Ю. В. Ракитин

Х 1975 N 17

UP, UAs (T_{c2}) XVIII 315-BP 1974

Tzoc R., Lam D.J.

Phys. status solidi (b), 1974, 65,
N1, 317-327 (ann.)

Magnetic susceptibility of UP and
UAs.

PHYSIK, 1975
95586

Б 99
y pag. een

таблица
из условия
18

W.P., Uts (Treil).

1974

XVIII-2.04

Troc R., Kletoweski Z.,

Bull. Acad. Pol. Sci., Ser. Sci.

Chim., 1974, 22 (4), 621-4.

Electrical resistivity of uranium
phosphide and uranium arsenide.

3

C.R. 1974. 81/16. 97003 m.

5 (P)

1974.

Uts

U-Sb

U-Bi

(ep)

103986y AEC chemical thermodynamics. Westrum, E. F., Jr. (Dep. Chem., Univ. Michigan, Ann Arbor, Mich.). Report 1973, COO-1170-197 | 81 pp. (Eng). Avail. Dep. NTIS. 7.25 dollars. From *Nucl. Sci. Abstr.* 1974, 30(8), 20785. Heat capacity measurements were made on U pnictides, including antimonides, arsenides, and bismuthides. Studies are also made on lanthanide hexaborides, tribromides, and trichlorides. The thermophys. properties of mol. crystals of azulene, acenaphthene, and acenaphthylene were studied. Studies on the enthalpies of combustion of selected mol. crystals are reported. Heat capacity studies on various inorg. substances, including ferrous tungstates and molybdates, zinc tungstate, ferrospinels, magnetite, and molybdenum compds. are reported.

(em. Hg obesse)

C.A. 1975, 82 N 16

February

④

V

Изумруды - MCl_3 , MB_6 , MBr_3 (cp),
Fe, Zn, ~~etc~~ (шорсткость и блеск).
(cp).

XVIII

UN; UAs.
abe.

XVIII 347

1975.

Marples J.A.C., Sampson C.F., Wedgwood F.A.,
Kuznietz M.

J. Phys. C: Solid State Phys., 1975, 8, N 5,
703-716.

Actinide pnictides and chalcogenides. IV. X-ray search for tetragonal distortion in UN and UAs in the antiferromagnetic state.

PX, 1975, 185807.

B, see

1975

UAsS

UAsSe

UAsTe

крист.
структур

1975 № 23

23 Б525. Кристаллическая структура UAsS, UAsSe и UAsTe. Pietraszko D., Łukaszewicz K. The crystal structure of UAsS, UAsSe and UAsTe. «Bull. Acad. Pol. sci. Sér. sci. chim.», 1975, 23, № 4, 337—340 (англ.; рез. рус.)

Определены крист. структуры UAsS (I), UAsSe (II) и UAsTe (III), (дифрактометр, λ Mo, 192 отражения для I, 214 отражений для II, 313 отражений для III, МНК в изотропном приближении, I $R=0,077$, II $R=0,138$, III $R=0,115$). Параметры тетрагон. решеток: I $a = 3,878$, $c = 8,164$, $Z = 2$, ф. гр. $P4/nmm$; II $a = 3,981$, $c = 8,371$, $Z = 2$, ф. гр. $P4/nmm$; III $a = 4,150$, $c = 17,270$, $Z = 4$, ф. гр. $I4/mmm$. Для I и II подтверждена предложенная ранее структура типа PbFCI, III изотипен UGeTe. Различие между I, II и III состоит в том, что в III полиэдры атомов имеют общую грань из 4 атомов, а в I и II — общее ребро из 2 атомов As. Координац. число U для I и II равно 9: U—4As 3,028 Å (I), U—As 3,010 Å (II), U—1X, ($X = S, Se$) 2,847 Å (I), 3,030 Å (II), U—4X 2,822 Å (I), 2,934 Å (II). Для U в III коор. число 8: U—4As 2,932 Å, U—4Te 3,159 Å. Еще 1 атом Te расположен на расстоянии 3,321 Å.

С. А. Линде

UAs₂

OMNUCK 3549

1975

USb₂

(cp, Tep. uog.
cb - 69)

84: 50672a. Cryogenic heat capacities and Neel transitions of two uranium pnictides uranium arsenide (UAs₂) and uranium antimonide (USb₂). Westrum, E. F., Jr.; Sommers, J. A.; Downie, D. B.; Groenvold, F. (Univ. Michigan, Ann Arbor, Mich.). *Thermodyn. Nucl. Mater., Proc. Symp., 4th* 1974 (Pub. 1975), 2, 409-18 (Eng). IAEA: Vienna, Austria. The heat capacities were detd. of USb₂ [12039-39-3] and UAs₂ [12006-36-2] by adiabatic calorimetry at 5-700°K. Both heat capacity curves show sharp, λ anomalies indicative of cooperative phenomena. The max. at 272.2 and 202.5°K for UAs₂ and USb₂, resp., are related to max. in susceptibility curves at 283 and 206°K, occasioned by transitions between antiferro- and paramagnetic states. Thermodn. properties and thermodn. of transition were calcd. for both these compds.

XVIII - 693

C.A. 1976 8418

отиск

3549

1945

UAs₂

USb₂

(C_p, T_{tr})

5 Б802. Теплоемкость и переходы Нееля для двух пниктидов урана: UAs₂ и USb₂. Westrum E. F., Jr., Sommers J. A., Downie D. B., Grønvold F. Cryogenic heat capacities and Neel transitions of two uranium pnictides, UAs₂ and USb₂. «Thermodyn. Nucl. Mater. 1974. Proc. Symp., Vienna, 1974. Vol. 2». Vienna, 1975, 409—418. Discuss., 418 (англ.)

Прямым спеканием стехиометрич. кол-в элементов в вакуумированных кварцевых трубках получены поликрист. образцы UAs₂ (I) и USb₂ (II), имеющие тетрагон. структуру типа Cu₂Sb. В интервале 5—700°К методом адиабатич. калориметрии изучена уд. теплоемкость C этих соединений. Установлено, что на кривых C(T) при T=272,2°К и T=202,5°К для I и II соотв., наблюдаются острые аномалии λ-типа, обусловленные

20 1946 N5

(+)

кооперативными явлениями. Поскольку в районе этих точек магнитная восприимчивость также имеет максимумы, аномалии теплоемкости объяснены фазовыми переходами типа парамагнетик-антиферромагнетик. Определены термодинамич. параметры I и II и вычислены изменения энтропии и энтальпии, обусловленные магнитным упорядочением. Показано, что наблюдаемые изменения энтропии можно объяснить, если учесть влияние поля лигандов на структуру уровней иона U. Указано на отсутствие монотонности в изменении т-ры фазового перехода в ряду пниктидов U. Ю. В. Ракитин

U_3As_4 B9 - 1601 - XVIII 1976

Sampson C. F., et al

(T_{tr}) ~~McAfee~~ J. Phys. C: Solid
State Phys., 1976, 9.
N 21, 4035-40.



(ccs. U_3P_4 ; I)

U_3As_4

U_3Sb_4

XVIII-7216

1977

12 Б802. Пнктиды актинидов. I. Теплоемкость в интервале 5—950 К и ферромагнитные превращения в U_3As_4 и U_3Sb_4 . Alles A., Falk B. G., Westrum Edgar F., Gronvold Fredrik, Zakl Mogad Ramzy. Actinoid pnictides. Heat capacities from 5 to 950 K and magnetic transitions of U_3As_4 and U_3Sb_4 . Ferromagnetic transitions. «J. Inorg. and Nucl. Chem.», 1977, № 11, 1993—2000 (англ.)

С помощью адиабатич. калориметров измерены теплоемкости U_3As_4 (I) и U_3Sb_4 (II) в интервале 3—350 К (в Мичиганском ун-те) и в интервале 300—950 К (в университете Осло). Установлено существование фазовых переходов λ -типа для I—II при 196,1 и 147,5 К соотв. Экстраполяция к 0 К производилась по графич. зависимости $C_p/T - T^2$. Определены коэф. электронной теплоемкости (γ) I—II, равные $0,9 \cdot 10^{-3}$ и $0,4 \cdot 10^{-3}$ кал/моль·К². Сглаживание т-рных зависимостей теплоемкости I—II производилось аналитически с использованием полиномов 5-й степени. Численным интегрированием аномальной части теплоемкости определены изменения

$C_p; T_c$
 m, g, φ .

Х, 1977 НИК

энталпии в аномальной области, равные $1765,4 \pm$
 $\pm 0,4$ кал/моль для I в интервале 179—215 К и
2024,7 $\pm 1,1$ кал/моль для II в интервале 132—175 К.
Табулированы термодинамич. функции $C_p, S^\circ, H_t^\circ - H_0^\circ$
и $-(G_t^\circ - H_0^\circ)/T$ в интервале 0—1000 К; при 298 К
они составили 44,82, 73,87, 10405 и 38,97 (I),
44,98 кал/моль·К, 83,60 э. е., 10943 кал/моль и
46,89 кал/моль·К (II). Высказано предположение, что
 λ -переходы обусловлены возникновением постоянного
магнитного момента. Вычислены энталпии и энтропии
превращений, равные 447,2 кал/моль и 6,7 э. е. для I,
870 и 6,8 для II.

П. М. Чукров

В9 - 1728-XVIII

1974

U₃As₄)

18 Б814. Намагниченность U₃As₄ в сильном поле.
Kaczér J., Novotny P. High-field magnetization of
U₃As₄. «Phys. status solidi (a)», 1977, 39, № 1, 351—
355 (англ.; рез. нем.)

(T_c)

При т-ре 77° К в импульсном магнитном поле на-
пряженностью H < 230 кэрстед изучена намагничен-
ность монокристаллов U₃As₄ (I), к-рый при т-ре T_c =
= 198° К переходит в магнитно упорядоченное состоя-
ние. Измерения проводились в Пл (110) под разными
углами к направлению трудного намагничивания <100>. Приложение вдоль этого направления магнитного поля
H ~ 200 кэ приводит к фазовому переходу 1-го рода,
сопровождающемуся поворотом вектора намагниченно-
сти к направлению <100>. На основе теор. анализа
полученных данных показано, что указанный фазовый
переход можно объяснить, если учесть в гамильтониа-
не I анизотропные члены высших порядков, причем
их вклад в анизотропию больше, чем вклад анизотроп-
ного члена низшего порядка. Рассмотрены механизмы,
приводящие к появлению в I более узкой петли гисте-
резиса, чем полученная из расчета. Ю. В. Ракитин:

X. 1974
N 18

Notes

1977

(T_{Tz})

87: 77601a Magnetic phase diagram of the uranium arsenide (UAs)-uranium selenide (USe) system. Obolenski, M.; Troc, R. (Dep. Phys., Univ. Kharkov, Kharkov, USSR). *Proc. - Int. Conf. Electron. Struct. Actinides*, 2nd 1976 (Pub. 1977), 397-402 (Eng). Edited by Mulak, J.; Suski, W.; Troc, R. Zakl. Nar. imienia Ossolinskich, Wydawn. Pol. Akad. Nauk: Wroclaw, Pol. The magnetic phase diagram of the UAs-USe system was constructed by measuring the compn. dependence of magnetic susceptibility and magnetization of UAs_{1-x}Se_x system. A sharp transition at 41 K was obsd. in the χ -T curve for UAs. Various types of magnetic transition in the region of $x \leq 0.10$ were explained. For samples with x up to 0.55 the magnetic phase diagram is more complex. Magnetic structures of long-range and longitudinal spin-wave types were confirmed by magnetic and neutron diffraction detns. For $x \geq 0.55$, the samples became ferromagnetic.

C. A. 1977. 87 n 10

1977

U_3As_4

U_3Sb_4

(T_{tr} , ΔS_{tr})

87: 94487k Thermophysical properties, electronic levels, and ferromagnetic transitions of uranium arsenide (U_3As_4) and uranium antimonide (U_3Sb_4). Westrum, Edgar F., Jr.; Groenvold, Fredrik (Dep. Chem., Univ. Michigan, Ann Arbor, Mich.). *Proc. - Int. Conf. Electron. Struct. Actinides*, 2nd 1976 (Pub. 1977), 437-42 (Eng). Edited by Mulak, J.; Suski, W.; Troc, R. Zakl. Nar. imienia Ossolinskich, Wydawn. Pol. Akad. Nauk: Wrocław, Pol. The thermodn. and magnetic properties of U_3As_4 and U_3Sb_4 were studied by measuring the heat capacities of these compds. at 5-950°. Sharp-shaped transitions were obsd. at 196.1 and 147.5 K, resp. The max. are related to the appearance of permanent magnetic moments near 198 and 148 K. Excess entropies assocd. with ferromagnetic ordering are estd. as 4.15 and 6.60 cal K⁻¹ mol⁻¹ for U_3As_4 and U_3Sb_4 , resp. The low values of entropies of transition can be related to the crystal field effects.

C.A. 1977. 87 n12

U.A.S₂

U₃A₈Y

U₅B₂

U₃SB₄

$S^{\circ} H^{\circ} - H_0^{\circ}$
- (G - H_0° / T)

Lamnica 7468 | 1977

Westrum E.F.

Kongopelagus no
Kaioparvus spec.

Mosuba, 30°F - 4°/11 - 79.

Exciting development,
in the thermophysics of:

$H(UO_2 PO_4) \cdot 4H_2O$; $H(UO_2 AsO_4) \cdot H_2O$ 1978
(Tet)

7220-XVIII

Childs P.E., Halstead T.K., Howe A.T.,
Shilton Marx G.N.H.R.

Mater. Res. Bull., 1978, 13, N6, 609-619 (cont.)

Study of hydrogen motion in hydrogen uranyl phosphate ($HUPO_4$) and hydrogen uranyl arsenate (HUA_3).

PMR Xmas, 1979

45768

5 (P)

1978

$(\text{AsO}_4)_2 \cdot \text{H}_2(\text{UO}_2)_2 \cdot 8\text{H}_2\text{O}$, 19 Б957. Симметрия и фазовые переходы в $(\text{AsO}_4)_2 \cdot \text{H}_2(\text{UO}_2)_2 \cdot 8\text{H}_2\text{O}$. de Венуасаг Rodriguez Matia A., de Dussel Hilda L. Symmetry and phase transitions in $(\text{AsO}_4)_2 \text{H}_2(\text{UO}_2)_2 \cdot 8\text{H}_2\text{O}$. «Ferroelectrics», 1978, 17, № 3—4, 469—472 (англ.)

На основе лит. эксперим. данных рассмотрены возможные механизмы фазовых превращений и точечные группы симметрии различных фаз в синтетич. $(\text{AsO}_4)_2 \cdot \text{H}_2(\text{UO}_2)_2 \cdot 8\text{H}_2\text{O}$. Показано, что фазовые переходы могут быть описаны схемой; фаза I (параэлектрич., простран-

$\approx 20^\circ$ ственная группа (ПГ) — $4/mmm$) — фаза II (антисегнетоэлектрич. возможные ПГ — 1, $\bar{1}$, 2, 222) $\approx 20^\circ$

— фаза III (сегнетоэлектрич., ПГ — I) — фаза IV (сегнетоэлектрич. ПГ — 4 mm). Предполагаемый механизм переходов связан с расширением, сжатием и сдвигом начальной тетрагон. ячейки. Эти изменения могут также сопровождаться наклоном структурных единиц. С другой стороны сегнетоэлектрич. характер перехода должен быть связан со смещением ионов, наиболее вероятно ионов водорода и кислорода. Г. Л. Апарчиков

фазовые
переходы

г. 1978, № 9

UAs₂

USb₂

XVIII - 7227

1978

21 Б832. Пникиды актиноидов. II. Теплоемкости UAs₂ и USb₂ от 5 до 750 К и антиферромагнитные превращения. Grønvold Fredrik, Zaki Morad Ramzy, Westrum Edgar F., Sommers James A., Downie David B. Actinoid pnictides. II. Heat capacities of UAs₂ and USb₂ from 5 to 750 K and antiferromagnetic transitions. «J. Inorg. and Nucl. Chem.», 1978, 40, № 4, 635—645 (англ.)

Теплоемкость C_p UAs₂ (I) и USb₂ (II) измерена методом адиабатич. калориметрии в интервалах 5—350 К и 300—750 К. Опытные данные хорошо стыкуются в области 300—350 К. Обнаружены λ-аномалии C_p при

(C_p)

Х. 1978, № 11

272,2 К у I и 202,5 К у II, к-рые согласуются с т-рами максимумов магн. восприимчивости при $T_N = 277$ и 203 К, соотв. Для I $C_{p,298} = 19,12$ $S_{298} - S_0 = 29,41$ и $-[G(T) - H(O)]/T = 15,05$ кал/моль·К, для II 19,16, 33,81 18,39, соотв. Магнитный вклад в C_p вычислен с использованием «эффективных» значений $\theta_D(T)$ ниже и выше T_N в области аномалии C_p . Для I $\Delta S_{\text{магн.}} = 0,99$ э. е., для II 1,70 э. е, $\Delta H_{\text{магн.}} = 234,4$ и 258,5 кал/моль. Калориметрич. значения $\Delta S_{\text{магн.}}$ значительно ниже чисто спинового значения для иона U^{4+} $\Delta S = R \ln 3 = 2,18$ э. е.

Л. Резницкий

XVIII- 7227

1978

UAs₂

USb₂

1

89: 186844u Actinoid pnictides. II. Heat capacities of uranium diarsenide (UAs_2) and uranium diantimonide (USb_2) from 5 to 750 K and antiferromagnetic transitions. Gronvold, Fredrik; Zaki, Morad Ramzy; Westrum, Edgar F., Jr.; Sommers, James A.; Downie, David B. (Chem. Inst., Univ. Oslo, Oslo, Norway). *J. Inorg. Nucl. Chem.* 1978, 40(4), 635-45 (Eng). The heat capacities of UAs_2 and USb_2 were measured by adiabatic-shield calorimetry at 5-750 K. λ -Type transitions with max. at 272.2 and 202.5 K for UAs_2 and USb_2 , resp., were related to max. in the magnetic susceptibilities at 277 and 203 K, caused by transitions from antiferro- to paramagnetism in the compds. The thermodn. parameters for UAs_2 and USb_2 at 298.15 K were detd. The cooperative magnetic heat capacities of UAs_2 and USb_2 were resolved to give magnetic entropies, which were lower than the spin-only magnetic entropy value.

Cp Tefal.
gun. cb-b9

C.A. 1978. 89 n22

1949

Избр.

18 Б928. Изучение магнитных фазовых переходов методом ДТА. Burianek J., Měnovský A. Sledování magnetických fázových přechodů metodou DTA. «Zb. 8-j Celoštát. konf. o termick. analýze, Vysoké Tatry, 1979». Bratislava, s. a., 185—188 (чеш.; рез. англ.)

При т-рах 80—690 К методом ДТА определены т-ры магнитных фазовых переходов в U₃As₄, UH₃, UD₃, U₃P₄, UGa₂, TbCo₃, DyCo₂, NiO и др. соединениях. Предложен оптим. режим проведения эксперимента. Продемонстрировано хорошее согласие полученных значений с лит. данными. Рекомендовано проведение калибровки установок для ДТА в низкот-рной области по ряду в-в, для к-рых т. Кюри и Нееля определены из хода т-рной зависимости уд. теплоемкости.

Резюме

Fr

(+6) ✕

Х 1981 N 18

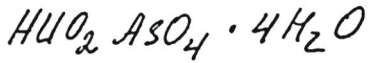
UAs

1979

90: 196802p Magnetization measurements on uranium arsenide single crystals: observation of a ferrimagnetic spin structure. Busch, G.; Vogt, O.; Bartholin, H. (Lab. Festkoerperphys., ETH, Zurich, Switz.). *J. Phys., Colloq. (Orsay, Fr.)* 1979, (4), 64-5 (Eng). Magnetizations of UAs single crystals were measured as a function of temp. ($2 < T < 120$ K), magnetic field ($0 < H < 16$ kOe) and crystal orientation. The measurements reveal strong anisotropy. In the temp. range $2 > T > 68$ K and just below the Neel temp. ($T_N = 127$ K) a ferrimagnetic intermediate structure is obsd.

(T_{Neel})

O.A.1979,90,N24



1979

фазовый
переход

Shilton M.F., Howe A.T.

J. Chem. Soc. Commun., 1979,
N 5, 194-196.

(см. $\text{HVO}_2\text{PO}_4 \cdot 4\text{H}_2\text{O}$; I)

$(\text{UO}_2)_3(\text{AsO}_4)_2$ Lommel 10165 | 1980
 $(\text{UO}_2)_2 \text{As}_5 \text{O}_4$ Barten H; et al.
 $(\text{UO}_2)(\text{AsO}_4)_3$ Thermochim. acta,
cinnag,
graduated.
pyrobas
quartz.

1980

UAsS
UAsSe
UAsTe

C_p , ρ_{as}

194: 21331q Low-temperature specific heats of some uranium ternary compounds UAsY (Y = S, Se, Te). Blaise, A.; Lagnier, R.; Wojakowski, A.; Zygmunt, A.; Mortimer, M. J. (CEN, Grenoble, Fr.). *J. Low Temp. Phys.* 1980, 41(1-2), 61-72 (Eng). The sp. heats of the UAsY (Y = S, Se, and Te) ternary compds. were detd. at 1-300 K. λ -Type anomalies are reported at 125.8, 108.8, and 62.8 K, resp., corresponding to ferromagnetic ordering. The exptl. results are analyzed in terms of the Debye model and electronic contributions. Debye temps., electronic sp. heat coeffs., and magnetic entropies are derived. A comparison is made with the isostructural binary compds. UX₂ (X = P, As, Sb or Bi).

P.A. 1981. 24 n 4

1980

UAsS

UAsSe

UAsTe

Ttr, Cp, S₂₉₈

3 E187. Теплоемкость некоторых тройных соединений урана UAsY (Y=S, Se, Te) при низких температурах. Low-temperature specific heats of some uranium ternary compounds UAsY (Y=S, Se, Te). Blaise A., Lagnier R., Wojakowski A., Zygmunt A., Mortimer M. J. «J. Low Temp. Phys.», 1980, 41, № 1—2, 61—72 (англ.)

Измерения проведены в интервале т-р 5—700° К с помощью диффер. калориметра и в интервале 1—20° К динамич. методом. При т-рах 125,8; 108,8 и 62,8 для Y=S, Se, Te соответственно обнаружены λ-аномалии, обусловленные ферромагн. упорядочением. Определены т-ры Дебая, коэф. электронной теплоемкости, магн. энтропия. Проведено сопоставление с данными для изоструктурных соединений типа UX₂ (X=P, As, Sb, Bi).

φ. 1981 № 3

U_3As_4 айтиск 9857 1980

Th_3As_4

11 E313. теплоемкость U_3As_4 и Th_3As_4 . The heat capacities of U_3As_4 and Th_3As_4 . Blaise A., Lagnier R., Tros R., Henkie Z., Markowski P. J., Mortimer M. J. «J. Low Temp. Phys.», 1980, 39, № 3—4, 315—328 (англ.)

C_p ; T_{cr}

Измерения проведены дифференциальным динамич. методом в интервале т-р 5—300° К. У U_3As_4 обнаружена аномалия λ -типа при 195,8° К, обусловленная ферромагн. превращением. Для оценки немагн. вклада в теплоемкость использованы данные для Th_3As_4 , не имеющего аномалии. Для магн. энтропии U получено 10,67 дж/град·моль, что близко к теоретич. значению $R\ln 4$. Обсужден вопрос о критич. индексах. Библ. 21.

ф. 1980. № 11

+1 □

U_3As_4

AJ MUCK 9857

1980

Th_3As_4

(C_p)

(+)

93: 102300k The heat capacities of uranium(IV) arsenide and thorium arsenide. Blaise, A.; Lagnier, R.; Troc, R.; Henkie, Z.; Markowski, P. J.; Mortimer, M. J. (CEN, Grenoble, Fr.). *J. Low Temp. Phys.* 1980, 39(3-4), 315-28 (Eng). The heat capacities of U_3As_4 [12006-49-4] and Th_3As_4 [12006-47-2] were measured at 5-300 K. A sharp λ-shaped anomaly at 195.8 K, assocd. with the ferromagnetic transition, was obsd. in U_3As_4 . The smooth sp. heat curve $C_p(T)$ for nonmagnetic analog Th_3As_4 was used to det. the lattice contribution to the heat capacity of U_3As_4 . The thermodn. functions are derived and tabulated. The magnetic entropy at 290 K was estd. as 10.67 J/Kg atom of U, which is close to the theor. $R \ln 4$ value. This fact is interpreted in terms of crystal field interactions in the lattice with S_4 point symmetry. Crit. entropy and energy parameters are compared with the theor. predictions for 3d Ising and Heisenberg models. The crit. coeffs. are also considered.

C.A. 1980, 93
N 10

Notes

ommited 9041

1980

(C_p)

S.: 100413e The heat capacity of uranium monoarsenide. Blaise, A.; Troc, R.; Lagnier, R.; Mortimer, M. J. (CEN, Grenoble, Fr.). *J. Low Temp. Phys.* 1980, 38(1-2), 79-92 (Eng). The sp. heats of UAs and the isostuctural nonmagnetic homolog ThAs were measured at 5-300 K. While the latter compd. displays a regular smooth curve $C_p(T)$, UAs shows two sharp anomalies. The first anomaly, around 64 K, may be ascribed to the magnetic transition from type IA to type I antiferromagnetic structure; the second anomaly, at 122.8 K, corresponds to the Neel temp. An anal. of the exptl. curve $C_p(T)$ for UAs was carried out by several different methods to get the magnetic contribution to the sp. heat with the best possible accuracy. The resulting magnetic entropy depends on the method and its max. value at 250 K is $0.8R \ln 4$, assuming a high-temp. value of the electronic heat capacity coeff. ($\gamma \approx 33$ mJ/K² mol). No anomaly at 41 K was obsd. whatever thermal treatment was used to prep. the UAs samples.

X/11/-7/24/77

P.A 1980.92.112

UAs

Ломоносов 9041, 1980

11 Б756. Термоемкость моноарсенида урана. Blaise A., Trosz R., Lagnier R., Mortimer M. J. The heat capacity of uranium monoarsenide. «J. Low Temp. Phys.», 1980, 38, № 1—2, 79—92 (англ.)

В интервале т-р 5—300 К измерена теплоемкость UAs и его изоструктурного немагнитного гомолога ThAs. Термодинамич. функции в интервале 5—150 К табулированы с шагом 5 К, в интервале 150—300 К — с шагом 10 К. Значения $C_{p,298,15}$, $S^0_{298,15}$ Дж/моль·К, $H_{300} - H_0$ Дж/моль, $(H_{300} - H_0)/T$ и $-(G_{300} - H_0)/T$ Дж/моль·К составили соотв.: UAs 57,91, 97,44, 13 296, 44,32 и 53,48; ThAs 50,52, 79,79, 11 071, 36,90 и 43,21. Т-рная зависимость теплоемкости ThAs описывается плавной кривой, а UAs имеет две резких аномалий. Аномалия в окрестности 64 К приписана магнитному переходу антиферромагнитной структуры типа IA в тип I. Аномалия при 122,8 К соответствует т-ре Нееля. Для расчета магнитного вклада в теплоемкость с максим. точностью анализ и обработка результатов проводились

m. g. сб.-бq

Th

2.10.80.111

несколькими методами. Полученные значения магнитной энтропии зависят от использованного метода, максим. значение при 250 К равно $0,8R \ln 4$ при коэф. высокот-рной электронной теплоемкости $\gamma = 33$ мДж/моль·К². Указано, что оба перехода являются переходами 1-го рода или близкими к этому и согласуются с лит. данными по магнитной восприимчивости UAs. Отмечено, что в области 41 К никакой аномалии C_p не наблюдалось на обоих образцах UAs, полученных в различных термич. режимах, что не соответствует лит. данным по магнитной восприимчивости.

А. Б. Кисилевский

и 3
+0

Уотс

Лонгиск 90411

1980

5 Е341. Теплоемкость монарсенида урана. The heat capacity of uranium telluroarsenide. Blaise A., Тюсо I., Лагниер R., Мортимер M. J. «J. Low Temp. Phys.», 1980, 38, № 1—2, 79—92 (англ.)

Теплоемкость UAs и его изоструктурного гомолога ThAs измерена с помощью динамического дифференциального адиабатич. метода в интервале т-р 5—300° К. UAs, в отличие от ThAs, обнаруживает аномалию при 64° К, обусловленную переходом структуры типа I_A в антиферромагн. структуру I , и аномалию при 122,8° К, соответствующую точке Неселя. Максим. значение магн. энтропии (при 250° К) найдено равным 0,8 Rln4 в предположении, что значение коэф. электронной теплоемкости при высоких т-рах равно 33 мдж/моль·град². Составлены таблицы термодинамич. ф-ций UAs и ThAs. Библ. 28.

Л. П. Ф.

φ 1980 № 5

Из 1954

14 Б722. О магнитных свойствах U_3As_4 в сильных полях. Bril V. E., Levitin D. Z., Osipova R. E., Yakozenko V. L., Zelený I. On magnetic properties of U_3As_4 in strong fields. «Phys. status solidi», 1980, A57, № 1, 393—398. (англ.; рез. нем.)

(T_c)

Методом хим. транспортных р-ций с использованием йода в кач-ве транспортного агента получены моно-кристаллы кубич. ферромагнетика U_3As_4 (I), имеюще-го т-рв Кюри $T_c=200$ К. В импульсных магнитных по-лях напряженностью до 250 кэрстед вдоль кристалло-графич. направлений [100], [110] и [111] измерена на-магниченность (σ) кристаллов I. Установлено, что σ вдоль [111] слабо зависит от поля H , вдоль [110] рас-тет с полем, но не достигает насыщения даже при 4,2 К, а в поле направленном вдоль оси [100] зависи-мость $\sigma(H)$ терпит разрыв, положение к-рого смещает-ся от $H_c=191$ кэрстед при 4,2 К до 153 кэрстед при 78 К. С помошью полученных данных определена т-рная зависимость параметров кубич. анизотропии и оценены значения констант одноосной анизотропии при $T=0$ К. Эти константы сравниваются с рассчитанными в рамках модели крист. поля и используются для анализа влияния обменных взаимодействий на магнит-ную структуру I во внешнем магнитном поле при $T=0$ К.

В. М. Новоторцев

2 1980 N/4

1980
ХVIII-Гагарин

OMNIBUS 10830

1980

UAs

(T_{tr})

94: 57116n A neutron, magnetization and specific heat study of the unusual magnetic properties of uranium arsenide. Rossat-Mignod, J.; Burlet, P.; Bartholin, H.; Tchapoutian, R.; Vogt, O.; Vettier, C.; Lagnier, R. (CEN-Grenoble, 38041 Grenoble, Fr.). *Physica B+C (Amsterdam)* 1980, 102(1-3), 177-84. (Eng). The magnetic structure of UAs was detd. by neutron expts. on a crystal with a uniaxial stress along a [001] direction. Below $T_N = (123.0 \pm 1)K$, UAs order with a type-I collinear structure, the transition being strongly 1st order. At $T = 65 K$ a 1st-order transition occurs towards a type-IA structure. In this multiaxial structure the moments lie along (001) direction, in agreement with magnetization results. This change of the moment direction explains the jump of the magnetic moment value. In the vicinity of the ordering temp. the phase diagram was detd., by magnetization and sp. heat expts. As in CeSb a "ferrimagnetic" state appears in high fields. The effects of hydrostatic pressure on the phase diagram are reported. The type-I-type-IA transition temp. decreases with pressure, whereas a more complex behavior was obsd. near T_N . dT_N/dp is pos. for the type-I phase and neg. for the "ferrimagnetic" phase.

C.A. 1981.94, 18

UAs

(T_{tr})

94: 40512r Studies of the phase transitions in uranium arsenide by neutron scattering. Sinha, S. K.; Lander, G. H.; Shapiro, S. M.; Vogt, O. (Argonne Natl. Lab., Argonne, IL 60439 USA). *Physica B+C (Amsterdam)* 1980, 102(1-3), 174-6 (Eng). UAs is known to order with the type-I antiferromagnetic (AF) structure at ≈ 126 K, and exhibit a 1st-order transition to the type-IIA AF structure at $T_N/2$. These transitions were re-examined with a single crystal. Above T_N UAs exhibits critical scattering suggesting a tendency to order with an incommensurate wavevector, but then suddenly orders with the AF-I structure. Anisotropic exchange interactions of cubic symmetry between U moments must be considered.

C.A.1981.94 N6

UAs

1980

10 Б869. Магнитный фазовый переход вблизи точки Лифшица: исследование UAs при помощи нейтронов. Sinha S. K., Lander G. H., Shapiro S. M., Vogt O. Magnetic phase transition near a Lifshitz point: a neutron study of UAs. «Phys. Rev. Lett.», 1980, 45, № 12, 1028—1031 (англ.)

для есл. на обзоре.

(Tr)

Омск 14700

на
щая
на

Х. 1981. № 40

С помощью трёхосного нейтронного спектрометра исследовано крит. поведение монокристалла UAs [ориентация по плоскости (110), объем образцов 0,03 см³] вблизи его триктич. точки $T_N = 123,5$ К. Пармагнитная кубич. фаза UAs ($a = 5,768$ Å) в этой точке испытывает переход в упорядоченную антиферромагнитную фазу 1-го структурного типа. В этой фазе спины урана имеют доменную структуру типа [001]. Крит. рассеяние в UAs является анизотропным, проявляется максимум в несоразмерной точке в обр. пространстве и исчезает при появлении пиков сверхструктуры при соразмерном волновом векторе. Полученные результаты почти удовлетворяют критериям точки Лифшица, т. е. трикрит. точке, разделяющей однородно упорядоченную фазу, модулированную фазу и разупорядоченную фазу. Для анализа полученных результатов применена теория среднего поля и метод ренорм-группы. Сделано сравнение с лит. данными для крит. поведения USb и UN, где в отличие от UAs рассматриваемый переход является фазовым переходом 2-го рода. В. А. Ступников

$U_3 As_4$ Burlet P., et al. 1981

Solid State Commun.,
1981, 39, N 6, 745-749.

T_{cz}

(crys. $U_3 P_4$; I)

Омск 12/45 1981

UAs

1 Б1082. Исследование фазовых переходов в арсениде урана с помощью рассеяния нейтронов. Sinha S. K., Lander G. H., Shapiro S. M., Vogt O. Neutron scattering investigation of the phase transitions in uranium arsenide. «Phys. Rev. B: Condens. Matter», 1981, 23, № 9, 4556—4566 (англ.)

Выполнены исследования упругого рассеяния нейтронов на монокристаллах UAs (I). I имеет крист. структуру типа NaCl, при $T_N \sim 126$ К. I — антиферромагнетик со структурой типа I, при 63,5 К происходит фазовый переход 1-го рода в парамагнетик. Исследовано крит. (диффузионное) рассеяние нейтронов вблизи T_N . Выше T_N крит. рассеяние сильно анизотропно и центрировано относительно волнового вектора, что свидетельствует о тенденции к упорядоченности несоразмерной структуры, но затем при T_N наблюдается внезапный переход к упорядоченной соразмерной типа I структуре. Дан анализ фазового перехода посредством включения в Гамильтониан сильной кубич. анизотропии, и затем в при-

T_N

Х. 1982, 19АБ, №1

ближении средн. поля рассчитана восприимчивость. Анализ результатов деффузионного рассеяния позволяет численно оценить анизотропию. Результаты показывают, что Γ при высокой т-ре близок к т. н. точке Лифшица, при к-рой соразмерная и несоразмерная фазы находятся в равновесии с парамагнитной фазой. Сильная кубич. анизотропия интерпретируется как эффект связи между $5f$ -волновой ф-цией и p -орбиталами аниона.

В. Г. Юркин



UAs

Омск 12/45 1981

2 E667. Исследование фазовых переходов в арсениде урана нейтронографическим методом. Neutron scattering investigation of the phase transitions in uranium arsenide. Sinha S. K., Lander G. H., Shapiro S. M., Vogt O. «Phys. Rev. B: Condens. Matter», 1981, 23, № 9, 4556—4566 (англ.)

Методом упругого рассеяния нейтронов исследованы фазовые переходы в монокристалле UAs. Вблизи 126 К происходит антиферромагн. упорядочение из структуры типа NaCl в структуру AF-1, при 63,5 К наблюдается переход 1-го рода в структуру типа 1-А. Измерения диффузного (критического) рассеяния выше т-ры Нееля выявили его существенную анизотропию, что объясняется ковалентным связыванием $5f$ - и p -орбиталей урана и мышьяка соответственно в плоскостях (001). Обменное взаимодействие ионов в направлении $z-z$ в ~40 раз сильнее, чем в направлении $x-x$ или $y-y$. Проведен детальный анализ диффузного рассеяния и особенностей фазового перехода. Библ. 31.

Б. Г. Алалин

Фазов.
переход

φ. 1982, 18, № 2

UAs

Omnuck 12/45

1981

T_{Neel} ,

C.A. 1981,

95, N2.

| 95: 17091q Neutron scattering investigation of the phase transitions in uranium arsenide. Sinha, S. K.; Lander, G. H.; Shapiro, S. M.; Vogt, O. (Argonne Natl. Lab., Argonne, IL 60439 USA). *Phys. Rev. B: Condens. Matter* 1981, 23(9), 4556-66 (Eng). Neutron elastic scattering expts. are reported on single crystals of the compd. UAs. This has the NaCl crystal structure, orders antiferromagnetically with the type-I structure (AF-1) at $T_N \sim 126$ K, and exhibits a 1st-order phase transition to the type-IA structure at 63.5 K. Above T_N the crit. (diffuse) scattering is anisotropic and centered about a wave vector that suggests a tendency to order with an incommensurate structure, but then at T_N suddenly orders with the commensurate type-I ordering. A detailed anal. is made with a Hamiltonian in which the strong cubic anisotropy is included, and the the q -dependent susceptibility is obtained via a mean-field calcn. The resulting parameters show that the z-z exchange interaction within the (001) plane is ~ 40 times the x-x or y-y coupling between the spins. Moreover, the competition within the interactions leads to the system experiencing "frustration" in deciding between AF-I or a sinusoidal spin arrangement, so that the system is in the vicinity of a Lifshitz point. The strong cubic anisotropy is interpreted as arising from bonding effects between the 5f wave functions and the anion p orbitals.

UAs

1981

3 Б1309. Нейтронное изучение магнитного фазового перехода в UAs. Shapiro S. M., Sinha S. K., Lander G. H., Vogt O. Neutron studies of the magnetic phase transition in UAs. Proceedings of the Twenty-Sixth Annual Conference on Magnetism and Magnetic Materials, Dallas, Tex., 11—14 Nov., 1980. «J. Appl. Phys.», 1981, 52, № 3, Part 2, 2220—2221 (англ.)

Te;

При т-рах 70—140 К методом рассеяния нейtronов изучена структура UAs. Обнаружено, что UAs обладает фазовым переходом 1-го рода в антиферромагнитную (AF-I) структуру типа I при $T_N = 124$ К. Выше T_N UAs проявляет сильное анизотропное крит. рассеяние, предполагающее псевдодвумерное поведение. Т-ная зависимость проявляет тенденцию к упорядочению с некомпенсированным волновым вектором, но затем система упорядочивается в AF-I структуру. Показано, что теория упорядоченного поля, основанная на анизотропном гамильтониане, адекватно описывает эксперим. результаты.

Резюме

X.1982, 19, N3.

llats

1981

(T_{cc})

' 94: 218708z Neutron studies of the magnetic phase transition in: uranium arsenide (UAs). Shapiro, S. M.; Sinha, S. K.; Lander, G. H.; Vogt, O. (Brookhaven Natl. Lab., Upton, NY 11973 USA). *J. Appl. Phys.* 1981, 52(3, Pt. 2), 2220-1 (Eng). UAs undergoes a 1st-order phase transition to a type-I antiferromagnetic (AF-I) structure at $T_N \sim 124$ K. Above T_N , UAs exhibits strongly anisotropic crit. scattering suggestive of pseudo 2-dimensional behavior. The temp. dependence suggests a tendency to order with an incommensurate wave vector, but then suddenly the system orders with the AF-I structure. A mean-field theory is proposed based on an anisotropic Hamiltonian and provides a reasonable description of the results.

C.A. 1981.94 N.26

U_3As_4

1981

20 Б919. Дискретный фазовый переход в U_3As_4 под действием магнитного поля. Тго́с R., Sznajd J., Mydlarz T., Novotný P. Discontinuous phase transition in U_3As_4 under magnetic field. «J. Magn. and Magn. Mater.», 1981, 23, № 2, 129—135 (англ.)

T_{cr}

Представлены результаты измерений намагниченности монокристалла U_3As_4 вдоль направлений $\langle 111 \rangle$ и $\langle 001 \rangle$ [образцы (а) и (б) соотв.] в стационарном магнитном поле до $20,5\text{ T}$ при различных т-рах. Показано, что в образце (а) при $T=4,2\text{ K}$ происходит быстрое насыщение намагниченности σ до значения $30,5\text{ эмс/г}$ и σ остается почти неизменной вплоть до 14 T . В образце (б) обнаружены скачки намагниченности в интервале полей $20,5—14\text{ T}$ при т-рах больших 105 K , а при $T < 105\text{ K}$ скачки исчезали. Представлен т-рный график крит. поля H_c и относит. величины скачка намагниченности σ_c в сравнении с полученными ранее результатами. Отмечено значительное расхождение данных. Проведено теор. рассмотрение изучаемого фазового перехода на основе гамильтониана

X. 20. 1981

Ландау-Гинзбурга-Вильсона с учетом как спиновых, так и упругих степеней свободы. Получены т-рные зависимости констант анизотропии K_1 и K_2 . В рамках феноменологич. теории Ландау изучено влияние начальных параметров гамильтониана на тип фазового перехода: непрерывный или дискретный. В плоскости (K_1, K_2) приведены линии раздела типов перехода, вычисленные в теории Ландау, в рамках ренормгруппы с учетом крит. флюктуаций двух параметров порядка и в случае некрит. флюктуации одного параметра. Утверждается, что трикрит. точка существует при $H_t < 14T$ и $T > 105K$ и, что для более точного ее определения необходимо проведение измерений теплоемкости во внешнем магнитном поле вдоль $\langle 100 \rangle$ оси.

С. К. Карапанов

ст.
 $\gamma(0)$

$(\text{UO}_2)_3(\text{AsO}_4)_2$ OMM. 15032/1982

4 gp.

98: 114712n Standard enthalpies of formation of uranium compounds. IX. Anhydrous uranyl arsenates. Cordfunke, E. H. P.; Ouveltjes, W.; Barten, H. (Neth. Energy Res. Found., Petten, Neth.). *J. Chem. Thermodyn.* 1982, 14(9), 883-6 (Eng). The heats of soln. of $(\text{UO}_2)_3(\text{AsO}_4)_2$ (I) [84651-42-3], $(\text{UO}_2)_2\text{As}_2\text{O}_7$, (II) [84785-93-3], and $\text{UO}_2(\text{AsO}_4)_2$ (III) [84238-85-7] in 1.505 mol/dm³ H_2SO_4 were detd. calorimetrically. The heats of formation: $\Delta H_f^\circ(\text{s})$ at 298.15 K in kJ/mol of I 4689.4, II -3426.0, and III -2156.6, were calcd. from the heats of soln. of $\gamma\text{-UO}_3(\text{s})$ and $\text{As}_2\text{O}_5 \cdot 5/3\text{H}_2\text{O}(\text{s})$ in H_2SO_4 .

$\Delta_f H^\circ$

C.A. 1983, 98, n14

$U_3\text{P}_4$

1983

Herkie Z., Johanson W.R.
et al.

Phys. Rev. B: Condens.

Matter, 1983, 28, N8, 4198-

- 4203.

($\text{Cell. } U_3\text{P}_4 ; \bar{I}$)

UAs

1983

З Е527. Выращивание монокристаллов некоторых монопниктидов урана. Growth of single crystals of some uranium monopnictides. Ногун R., Ненгу J. Y., Rossat-Mignod J. «J. Cryst. Growth», 1983, 63, № 2, 407—409 (англ.)

Установлено, что металлич. Ga является хорошим растворителем для выращивания кристаллов монопниктидов U. Получены монокристаллы UAs и UP размером до 3 мм.

выращивание
монохристаллов

(+)⊗



сб. 1984, 18, № 3.

$(\text{LiC}_2)_3(\text{AsCl}_4)_2$ [On 22.179] 1985

$(\text{LiC}_2)_2\text{AsCl}_7$ Barten H., Cord-
funke E.H.P.,

Mcmoxill
CB-BA. Thermochim. acta,
1985, 90, 177-187.

$MP_{0.5}As_{0.5}$

[OM: 22842]

1985

mt. p-p Blaise A., Lagnier R.,
Gordon J.E., et al.,

Z. Low. Temp. Phys., 1985,
61, N5-6, 323-335.

$U(HAsO_4)_2 \cdot 4H_2O$

1985

5 В8. Новые соединения урана. Тетрагидрат двузамещенного арсената урана (IV). Черноруков И. Г., Коршунов И. А., Воинова Л. И. «Радиохимия», 1985, 27, № 5, 676—679

Синтезирован кислый арсенат $U(4+)$ состава $U(HAsO_4)_2 \cdot 4H_2O$ (I). Исследована термич. устойчивость I, определен состав, рентгено-графич. и ИК-спектроскопич. х-ки I и продуктов его термораспада. Резюме

термической
устойчив.

X. 1985, 19, N 5

UAS

[Om. 2274]

1985

Rudigier H., Ott H. R.,
Vogt O.,

Phys. Rev. B: Condens.
Matter, 1985, 32, N°,
4584 - ● 4591.

Cp;

Арсеналы

1986

Урана

Barter H.

ECN [Rep.] 1986, ECN-

першог. 188, 145pp.

cb - 6a

(cuz. ● Проверка и
арсеналы Урана; I)

UAsO_5

1986

Barter H.

J. Appl. Crystallogr.,
1986, 19, N6, 486.

(c.c. UPo_5 ; I)

УAs_{1-x}Se_x

1986

7 Б3139. Магнитная фазовая диаграмма системы UAs_{1-x}Se_x в отсутствие магнитного поля, исследованная методом нейтронографии монокристаллов. The magnetic phase diagram of the UAs_{1-x}Se_x system in zero magnetic field studied by neutron diffraction from single crystals. Kuznetz M., Burlet P., Rossat-Mignod J., Vogt O. «J. Less—Common Metals», 1986, 121, 217—221 (англ.)

Методом нейтронографии монокрист. образцов исследована и построена фазовая диаграмма системы UAs_{1-x}Se_x при т-рах до 170 К и $x=0,03-0,50$. При $x < 0,40$ в результате перехода 2-го рода при T_N формируется несоразмерное антиферромагн. упорядочение, существующее до перехода 1-го рода при охлаждении в соразмерную фазу типа 1А для $0,05 \leq x \leq 0,30$, в фазу типа I для $x \leq 0,05$ с послед. переходом в фазу 1А и, для $x = 0,40$, в фазу с прямоугольной структурой (5+, 4—). При x в окрестностях 0,50 образуется фер-

т2;

Х. 1987, 19, № 7

ромагн. упорядочение. Сопоставление полученных результатов с известными для UAs позволило сделать вывод о существовании в фазе 1A структур, характеризующихся одним, двумя и тремя k . В процессе увеличения т-ры обнаружено образование парамагн. фазы, происходящее, в зависимости от x , при т-рах от 120 до 170 К.

В. Е. Смирнов



UAsO₅

1987

108: 48024m Chemical stability of arsenates of uranium with a valency lower than six, with emphasis on uranium(V) arsenic oxide (UAsO₅). Barten, H. (Netherlands Energy Res. Found. ECN, Petten, Neth.). *Thermochim. Acta* 1987, 118, 107-10 (Eng). Mixts. of UO₂, U₃O₈, As₂O₅, and/or As₂O₃ were heated in evacuated SiO₂ ampules at 873 K for 48 h. U₃As₂O₁₂, UAsO₅, and U₃As₄O₉ were identified by x-ray diffractometry. The thermochem. of UAsO₅ was studied and its high-temp. thermodn. data were calcd.

MEPMOJ. GAK -
HRC

c.A.1988, 108, n6

U_3AsO_{12} и гр

1987

2 Б3015. Химическая устойчивость арсенатов урана с валентностью ниже шести, особенно смешанного оксида урана (5+)-мышьяка $UAsO_5$. Chemical stability of arsenates of uranium with a valency lower than six, with emphasis on uranium(V) arsenic oxide $UAsO_5$. Bartel H. «Thermochim. acta», 1987, 118, 107—110 (англ.)

$\delta^o(298,15)$, оценка

термод. ф-ши

Методами рентгенографии и калориметрии изучено взаимодействие смесей UO_2 , U_3O_8 и As_2O_3 (или As_2O_5) в вакуумированных кварцевых ампулах при 873 К в течение 48 ч установлено образование след. соединений: $As_4O_6(g)$, U_3AsO_{12} , $UAsO_5$ (I) и $U_3As_4O_{18}$. Обобщены лит. термохим. данные для I. Оценена $\delta^o(298,15\text{ K})$, I = $136,4 \pm 6,5$ Дж/моль·К. Табулированы термодинамич. функции I в интервале 300—1000 К. Л. Г. Титов

Х. 1988, 19, №.

$U_3 As_2 O_{12}(K)$ (OM-27054) 1987

$U_3 As_4 O_{18}(K)$

Barten H.,

honyewue Thermochem. Acta,
part. gray. 1987, 118, 107-110.

LLA 304 [OM. 28700] 1988

Barter H.,

memo - Thernochim. acta
XIII. 1988, 124, 339-344.

$(UO_2)_2(AsO_4)_2$ 0.11, 28735

1988

и гр.

14 Б3021. Термохимические свойства ураниларсено-
тов. II. Оценки стандартных энтропий. Thermochemical
properties of uranyl arsenates. II. Derivations of stan-
dard entropies. Вагтен Н. «Thermochim. acta», 1988,
126, 385—391 (англ.)

Стандартные значения S_{298} и термодинамич. ф-ции
ураниларсенатов в интервале 298—1000 К вычислены с
использованием собственных и лит. данных по гетеро-
генным равновесиям $(UO_2)_2(AsO_4)_2$ (ср, I) = U_3O_8 (ср) +
 $+ 0,5O_2(g) + 0,5As_4O_{10}(g)$; $3(UO_2)_2As_2O_7$ (ср, II) =
 $= 2(UO_2)_3(AsO_4)_2$ (ср) + $0,5As_4O_{10}(g)$; $2UO_2(AsO_3)_2$ (ср,
III) = II + $0,5As_4O_{10}(g)$. Рекомендованы $\Delta_fH_{298}As_4O_{10}$
(г) = -1514 ± 12 кДж/моль, S (298 К, Дж/К·моль)
для I $366,6 \pm 3,0$, II $286,5 \pm 8$, III $211,3 \pm 9$. Сообщ. I.
см. «Thermochim. Acta», 1985, 90, 177.

Л. А. Резницкий

X.1988, 19, N 14

Арсениаты урана

(Om. 28735) 1988

108: 193756f Thermochemical properties of uranyl arsenates.
II. Derivations of standard entropies. Barten, H. (Neth. Energy
Res. Found., ECN, Petten, Neth.). *Thermochim. Acta* 1988, 126,
385-91 (Eng). Std. entropies of uranyl arsenates were derived by
combining their std. enthalpies of formation and high-temp. data.
High-temp. molar thermodn. values of these compds. were calcd.

рефлексум

C. A. 1988, 108, N 22

$U_4 As_3 Se$

1988

19 Б3125. Исследование магнитной фазовой диаграммы монокристаллов $UAs_{0.75}Se_{0.25}$ методами нейтронографии и намагничивания. Neutron diffraction and magnetization study of the magnetic phase diagram of $UAs_{0.75}Se_{0.25}$ single crystal / Kuznetz M., Burlet P., Rossat-Mignod J., Vogt O., Mattenberger K., Bartholin H. // J. phys.— 1988.— 49, № 12, suppl. № 1.— С. 479—480.— Англ.

(Рт2)

Методами нейтронографии в полях до 67,2 кЭ и измерения намагничивания в полях до 190 кЭ при т-рах 4,2—270 К исследована магн. фазовая диаграмма монокрист. $UAs_{0.75}Se_{0.25}$. Магн. поле прикладывалось вдоль кубич. оси [001]. Обнаружено наличие неск. несоразмерных и соразмерных фаз, а также новой ферримагн. фазы. Найдены линии равновесия между различными магн. фазами и парамагн. состоянием. Проведено сравнение с магн. фазовой диаграммой UAs.

Г. Л. Апарников

Х. 1989, № 19

UAs

1988

12 E811. Рентгенографическое исследование UAs и UTe при высоком давлении. High pressure X-ray studies of UAs and UTe. Léger J. M., Vedel I., Redon A. M., Rossat-Mignod J., Vogt O. «Solid State Commun.», 1988, 66, № 11, 1173—1176 (англ.)

На установке высокого давления с алмазными наковальнями рентгенографически изучено поведение UAs и UTe при давлениях до 25 ГПа и комн. т-ре. Оба соединения испытывают переход из фазы со структурой типа NaCl к фазе со структурой типа CsCl в широком интервале давлений (от 11 до 18,5 ГПа для UTe и от 18,5 до 22,5 ГПа для UAs). Получены ур-ия состояния Берча — Мурнагана для обоих соединений. Модуль объемного сжатия для UAs пропорционален $V^{-5/3}$, что подтверждает предположение о делокализации 5f-электронов. Для UTe модуль объемного сжатия мал, что позволяет предположить существование состояния с промежуточной валентностью. Е. С. Алексеев

(1)
(X)

оф. 1988, N 12

UAs

1988

24 Б2064. Рентгенография UAs и UTe при высоком давлении. High pressure X-ray studies of UAs and UTe. Léger J. M., Vedel I., Redon A. M., Rossat-Mignod J., Vogt O. «Solid State Commun.», 1988, 66, № 11, 1173—1176 (англ.)

Рентгенографически изучены (λ Mo, камера с алмазными наковальнями) UAs (I) и UTe (II) в смеси метанол-этанол 4 : 1 под давл. до 25 ГПа при комн. т-ре. Для давл. выше 10—12 ГПа введена поправка на негидростатичность, возникающую при кристаллизации смеси метанол-этанол. При давл. 18,5 и 11 ГПа в I и II соотв. начинается фазовый переход из СТ NaCl в СТ CsCl, к-рый завершается при 22,5 и 19 ГПа. При понижении давл. СТ CsCl устойчив до 6 ГПа для I и 0,5 ГПа для II. С помощью ур-ния Берча-Мурнагана определены объемные модули B_0 и их производные по давл. B'_0 : для I СТ NaCl B_0 100,7, ГПа, B'_0 2,7, СТ CsCl B_0 121,6, B'_0 2, $V_{\text{NaCl}}/V_{\text{CsCl}}$ 0,892, для II, СТ NaCl B_0 44,6, B'_0

(P_t^2)

X. 1988, N 24

6,1, СТ CsCl 60,1, B_0' 5,1, $V_{0(\text{NaCl})}/V_{0(\text{CsCl})}$ 0,915. Значение B_0 для I соответствует зависимости от объема элементарной ячейки в степени $-5/3$, что указывает на делокализацию 5-электронов в I. Низкое значение B_0 в II объясняется смешанновалентным состоянием как и в TmSe.

С. С. Мешалкин

500
ован

UAS

1990

Bernard L. Olsen J.S.,
Benedict U., et al.,

T_{t_2} ,
empak-
mylar

High Temp. - High Pressures. —
1990, 22, N5, C. 523-532.

(all. $10P_2$; I)

UASle

1990

Berward L.; Olsen Y.S.,
Benedict L.; et al;

T_z, expx- High Temp. - High Pressure -
mya 1990, 22, N5, C. 523- 532.

(acc. UASL; I)

UAs
UAs
UAs
Forward Leif, Olsen $\ddot{\text{a}}$ -
nus Staus, et al.,
1990

High Temp. - High Pressures -
1990, 22, N5, c. 523 - 532.

T_{t2}

(all. U_{t2} ;  I)

UFS(C₂)

[92GRE/FUG]

1992

Genthe I, Fuger J. et al.

Chemical Thermodynamics of Uranium
Amsterdam et al, NEA, 1952, p. 30

$$\Delta_f G^{\circ}_{298} = -237,908 \pm 8,024 \text{ kJ mol}^{-1}$$

$$\Delta_f H^{\circ}_{298} = -234,300 \pm 8,000 \text{ kJ mol}^{-1}$$

$$S^{\circ}_{298} = 94,400 \pm 2,000 \text{ J K}^{-1} \text{ mol}^{-1}$$

$$C_p^{\circ}_{298} = 57,900 \pm 1,200 \text{ J K}^{-1} \text{ mol}^{-1}$$

U₃As₂(cr) [32G12E/FUG] 1992

Grenthe T., Fuger J., et al.
Chemical Thermodynamics of Uranium.

Amsterdam et al., NEA, 1982, p. 30

$$\Delta_f G_{298}^{\circ} = -252,480 \pm 13,005 \text{ kJ mol}^{-1}$$

$$\Delta_f H_{298}^{\circ} = -252,000 \pm 13,000 \text{ kJ mol}^{-1}$$

$$\Delta_f S_{298}^{\circ} = +23,050 \pm 0,200 \text{ J K}^{-1} \text{ mol}^{-1}$$

$$C_p^{\circ}_{298} = 49,960 \pm 0,100 \text{ J K}^{-1} \cdot \text{mol}^{-1}$$

$\text{U}_3\text{As}_4(\text{cr})$ [92GRE/SUG] 1992

Grenthe T., Fuger J., et al.

Chemical Thermodynamics of Uranium
Amsterdams et al., NEA, 1592, p. 30

$$\Delta_f G^\circ_{258} = -725,388 \pm 18,016 \text{ kJ mol}^{-1}$$

$$\Delta_f H^\circ_{258} = -720,880 \pm 18,000 \text{ kJ mol}^{-1}$$

$$\Delta_f S^\circ_{258} = 305,070 \pm 0,600 \text{ J K}^{-1} \text{ mol}^{-1}$$

$$C_p^\circ_{258} = 187,530 \pm 0,200 \text{ J K}^{-1} \text{ mol}^{-1}$$

$\text{UAsO}_5(\text{cr})$

[92GRE/FUB]

1552

Grenthe I, Fuger J. et al.

Chemical Thermodynamics of Uranium
Amsterdam et al, NEA, 1952, p. 61.

$$a = 1,3070(+02)$$

$$b = 6,42580(-02)$$

$$c/d = -$$

$$e = -1,05420(+06)$$

$$T_{\text{m}\gamma} = 298$$

$$T_{\text{max}} = 800.$$

$$C_p^0 = a + bt + ct^2 + dt^{-1} + et^2$$



1552

Grenthe T, Fuger J. et al.

Chemical Thermodynamics of Uranium

Amsterelam et al, NEA, 1992, p. 61.

$$a = 2,08461(+02)$$

$$b = 8,89100(-02)$$

$$c/d = -$$

$$e = -3,03460(+06)$$

$$T_m) = 258$$

$$T_{ex} = 200$$

$$C_p^6 = a + bT + cT^2 + dT^{-1} + eT^{-2}$$



1952

Brenthe I; Fuger J. et al.

Chemical Thermodynamics of Uranium
Amsterdam et al, NEA, 1952, p. 61.

$$a = 3,07412 (+02)$$

$$b = 1,05818 (-01)$$

$$c/d = -$$

$$e = -5,851130 (+06)$$

$$T_{min} = 298$$

$$T_{max} = 850$$

$$G_D^{\circ} = a + bT + cT^2 + dT^{-1} + eT^{-2}$$

$(\text{IO}_3)_3(\text{AsO}_4)_2$ (or) [GL GRE/FUG]

1982

Grenthe^I; Fuger^Y, et al.
Chemical Thermodynamics of Uranium.
Amsterdam et al, NEA, PSS2, p. 61.

$$\alpha = 3,31157(+02)$$

$$\beta = 2,11360(-01)$$

$$c/d = -$$

$$\frac{e}{T} = -2,68180(+06)$$

$$T_{m\gamma} = 298$$

$$T_{max} \approx 850$$

$$C = a + bT + cT^2 + dT^{-1} + eT^{-2}$$

$\text{UAsO}_5(\text{cr})$ [92 GRE / FUG] 1932

Grenthe T., Fuger J. et al.

Chemical Thermodynamics of Uranium.

Amsterdam et al., NEA, 1932, p. 30

$$C_p^{\circ} = 138,000 \pm 14,000 \text{ J K}^{-1} \text{ mol}^{-1}$$



1592

Grenthe T., Fuger J. et al.

Chemical thermodynamics of Uranium
Amsterdam et al., NKA, 1932, p. 30.

$$\Delta_f G^\circ_{298} = -1944,911 \pm 12,006 \text{ kJ mol}^{-1}$$

$$\Delta_f H^\circ_{298} = -2156,630 \pm 8,000 \text{ kJ mol}^{-1}$$

$$\Delta_f S^\circ_{298} = 231,000 \pm 30,000 \text{ J K}^{-1} \text{ mol}^{-1}$$

$$C_p^\circ_{298} = 201,000 \pm 20,000 \text{ J K}^{-1} \text{ mol}^{-1}$$

$(UO_2)_2HS_2O_7$ (cr) [92GRE/FU6] 1982

Grentche I.; Fuger J., et al.

Chemical Thermodynamics of Uranium

Amsterdam et al., 1952, p. 30

$$\Delta_f G_{298}^\circ = -3130,254 \pm 12,006 \text{ kJ mol}^{-1}$$

$$\Delta_f H_{298}^\circ = -3426,000 \pm 8,000 \text{ kJ mol}^{-1}$$

$$\Delta_f S_{298}^\circ = 304,000 \pm 30,000 \text{ J K}^{-1} \text{ mol}^{-1}$$

$$C_p^\circ = 273,000 \pm 24,000 \text{ J K}^{-1} \text{ mol}^{-1}$$

$(\text{UO}_2)_3(\text{AsO}_4)_2(\text{cr})$ [S2GRE/FUG] 1992

Grenthe I, Fuger J, et al.

Chemical Thermodynamics of Uranium

Amsterdams et al., NEA, 1992, p.30

$$\Delta_f G_{298}^\circ = -4310,789 \pm 12,004 \text{ kJ mol}^{-1}$$

$$\Delta_f H_{298}^\circ = -4689,400 \pm 8,000 \text{ kJ mol}^{-1}$$

$$S_{298}^\circ = 387,000 \pm 30,000 \text{ J K}^{-1} \text{ mol}^{-1}$$

$$C_{p,298}^\circ = 364,000 \pm 36,000 \text{ J K}^{-1} \text{ mol}^{-1}$$

UFFS(OR) [92GRE/FUG] 1992

Grenthe I., Fuger J., et al.
Chemical Thermodynamics of Uranium,
Amsterdam et al., NED, 1992, p. 30

$$S_{298}^{\circ} = 114,500 \pm 3,400 \text{ J K}^{-1} \text{ mol}^{-1}$$

$$C_p^{\circ}_{298} = 80,900 \pm 2,400 \text{ J K}^{-1} \text{ mol}^{-1}$$

UfSe(r) [92GRE/FUG] 1992

Grenthe I., Fuger J., et al.

Chemical Thermodynamics of Uranium
Amsterdam et al., NEA, 1992, p.30

$$S_{298}^{\circ} = 131,900 \pm 4,600 \text{ J K}^{-1} \text{ mol}^{-1}$$

$$C_p^{\circ}_{298} = 83,500 \pm 2,500 \text{ J K}^{-1} \text{ mol}^{-1}$$

UAsTe(or) [92GRE/FUG] 1992

Grenthe I, Fuger J, et al.

Chemical Thermodynamics of Uranium
Imsferdam et al., 1992, p. 30

$$S_{298}^{\circ} = 139,500 \pm 4,200 \text{ J K}^{-1} \text{ mol}^{-1}$$

$$C_p^{\circ}_{298} = 81,300 \pm 2,400 \text{ J K}^{-1} \text{ mol}^{-1}$$

UO_2^{2+}
 KHSO_4^{2-}
 H_3AsO_4
 Khabubium .

[92 GRE/FUG]

1992.

Grenthe T, Fuger J, Konings R.J.M.
Lemire R.J., Muller A.B., Nguen-
Trunge C, Wanner H.

"Chemical Thermodynamics of Uranium".
Wanner H, Forest T; Nuclear Energy Agency,
Organization for Economic Co-operation,
Development Eds. vol. I. Chemical Thermody-
namics, North Holland Elsevier Science
Publishers B.V., Amsterdam, The
Netherlands (1992) p. 715.

$M P(A_3) UO_6$

$M = H, Li, Na, K, Rb, Cs$

$(HP(A_3) UO_6)$ | 1995

124: 133685c Physical chemistry of compounds of formula $M^I P(A_3) UO_6$ ($M^I = H, Li, Na, K, Rb, Cs$) and their crystalline hydrates. Chernorukov, N. G.; Karyakin, N. V. (N.I. Lobachevskii Nizhegorodskii State Univ., Nizhny, Russia 603600). *Usp. Khim.* 1995, 64(10), 975–91 (Russ). A review with 103 refs. discusses the structural aspects of $M^I P(A_3) UO_6 \cdot nH_2O$ ($M^I = H, Li, Na, K, Rb, Cs$; $n = 4$ for $M^I = H, Li$ and $n = 3$ for $M^I = Na, K, Rb, Cs$). along with thermal anal. and IR-spectroscopic studies. The exptl. values of std. enthalpies of formation ($\Delta_f H^\circ$) of $M^I P(A_3) UO_6$ compds. and their crystal hydrates are discussed.

(оброп

⑦5

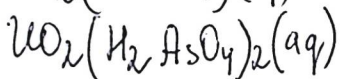
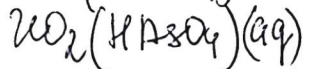
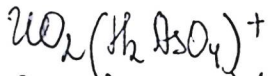
c. A. 1996, 124, n 10

- 1) $Li P(A_3) UO_6 \cdot 5H_2O$
- 2) $NaP(A_3) UO_6$
- 3) $KP(A_3) UO_6$
- 4) $RbP(A_3) UO_6$

$\text{UO}_2(\text{H}_2\text{AsO}_4)^+$ [GFRUT/GEI] 1997

$\text{UO}_2(\text{HAsO}_4)(\text{aq})$ Retsch M., Geipel G,
 $\text{UO}_2(\text{H}_2\text{AsO}_4)_2(\text{aq})$ Brendler V., Berhazet G,
Nitsche H.

prospektive „Studies of the complex
mechanism formation between uranyl
and arsenate by time-resolved
laser-induced fluorescence
spectroscopy (TR2FS)“ Forschung-
szentrum Rossendorf Institute
of Radio-chemistry, Annual
report, 1997, p. 243, 561, 656.



Spurenfrequenz
inexplosiv

[99 RUE/GET]

1999

Retsch M, Beipel G, Brendler V;
Berthold G, Nitsche H.

„Interaction of uranium(IV)
with arsenate(V) in aqueous
solution studied by time-
resolved laser-induced fluores-
cence spectroscopy (TRLFS).
Radiochim. Acta 1999, 85, 135-141

1000

F: UAsSe

P: 31

133:271920 5f band dispersion in the highly correlated electronic structure of uranium compounds. Moore, D. P.; Joyce, J. J.; Arko, A. J.; Morales, L.; Sarrao, J. Los Alamos National Laboratory Los Alamos, NM 87544, USA AIP Conf. Proc., 532(Plutonium Futures--The Science), 420-421 (English) 2000. The authors present angle-resolved photoemission data on ferromagnetic UAsSe and antiferromagnetic USb₂ both of which far exceeded the Hill criterion and in which the 5f electrons are expected to be purely localized. Instead they found that the 5f' electrons clearly display band behavior and are strongly hybridized with the 6d electrons.

$HP_{1-x}As_xUO_6 \cdot 4H_2O$

2001

135: 294665p Structure and thermodynamics of solid solutions
 $HP_{1-x}As_xUO_6 \cdot 4H_2O$. Chernorukov, N. G.; Suleimanov, E. V.; Ermonin, S. A. (Lobachevskii State University, Nizhniy Novgorod, Russia). Russ. J. Gen. Chem. 2001, 71(4), 491–494 (Eng), MAIK Nauka/Interperiodica Publishing. Solid solns. $HP_{1-x}As_xUO_6 \cdot 4H_2O$ were prep'd. and studied by X-ray diffraction, IR spectroscopy, and calorimetry. The enthalpy and Gibbs energy of mixing were detd. In the calcn. of the thermodn. properties, these solid solns. can be considered as regular solns.

UK + KANPILL

$\Delta H, \Delta f_{mix}$

C-A. 2001, 135, N20